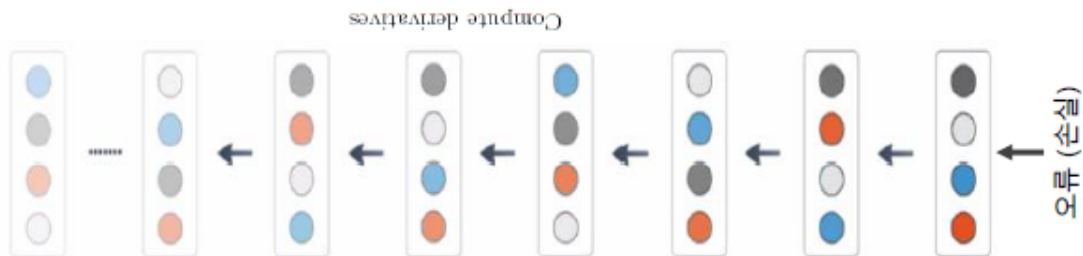


딥러닝

- 다층 퍼셉트론에 은닉층을 여러 개 추가하면 깊은 신경망이 됨
- 딥러닝은 깊은 신경망을 학습시킴
- 딥러닝은 새로운 응용을 창출하고 인공지능 제품의 성능을 획기적으로 향상
 - 현대 기계 학습을 주도

딥러닝의 등장

- 배경
 - 1980년대에 이미 깊은 신경망 아이디어 등장
 - 하지만 실현 불가능(당시, 깊은 신경망은 학습이 안 됨)
 - 그레디언트 소멸 문제
 - 작은 훈련 집합
 - 과다한 연산과 시간 소요 (값비싼 슈퍼컴퓨터)
 - 일부 연구자들은 실망스러운 상황에서도 지속적인 연구
 - 학습률에 따른 성능 변화 양상
 - 모멘텀의 영향
 - 은닉 노드 수에 따른 성능 변화
 - 데이터 전처리의 영향
 - 활성화함수의 영향
 - 규제 기법의 영향
- 그레디언트 소멸 문제



딥러닝의 기술 혁신 요인

- 요인
 - **컨볼루션 신경망(CNN)**이 딥러닝의 가능성을 엮
 - 매개변수의 공유를 통해서 효율적인 학습 접근 제공
 - 계산은 단순한데 성능은 더 **좋은 활성화함수**
 - 과잉적합을 방지하는데 효과적인 **다양한 규제기법**
 - 층별 **예비학습** 기법 개발
 - 값싼 **GPGPU**의 등장
 - 인터넷 덕분에 **학습 데이터 양과 질의 향상**

특징 학습의 부각

- 기계학습의 패러다임의 변화

- 고전적인 다층 퍼셉트론

- 은닉층은 **특징 추출기**
- 얇은 구조(제한적 특징 추출)이므로 가공하지 않은 획득한 원래 패턴을 그대로 입력하면 **낮은 성능**
- 따라서 사람이 **수작업** 특징을 선택하거나 추출하여 신경망에 입력함

- 현대 기계학습 (딥러닝)

- 데이터로부터 **특징 추출**하도록 학습 <- **특징 학습**
- 전체 특징을 신경망의 입력 <- **종단간 학습**

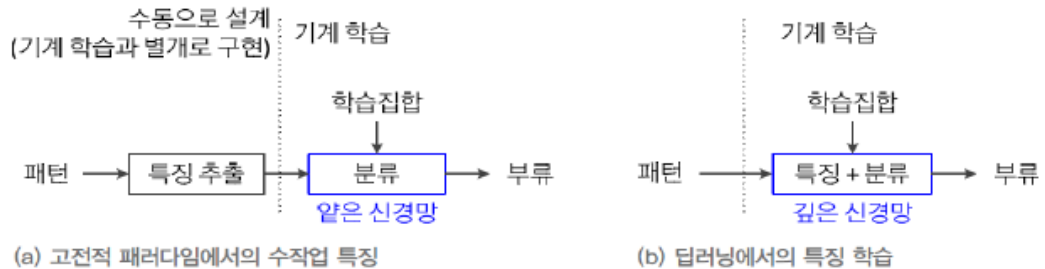
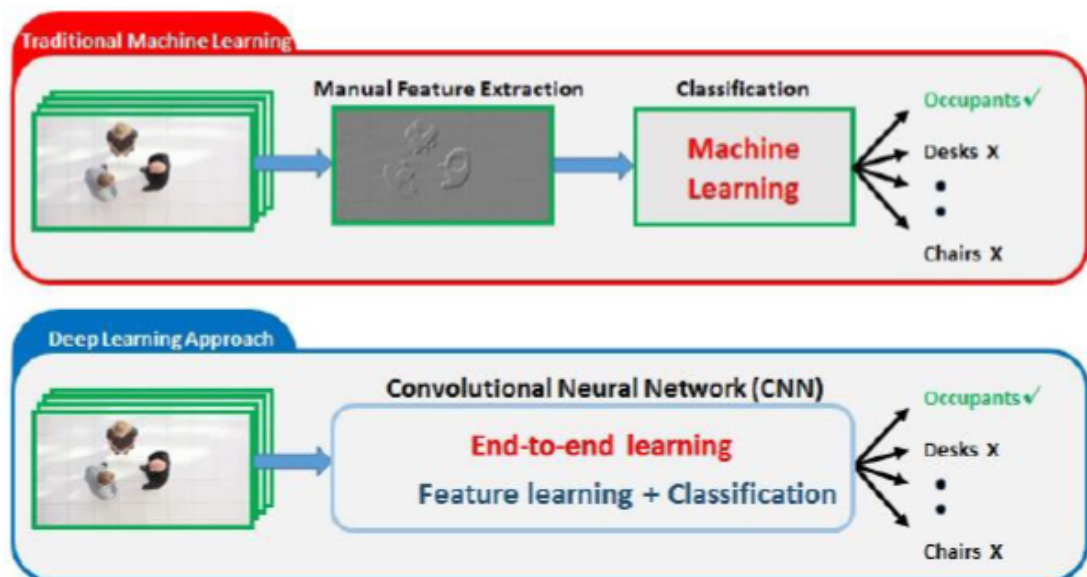


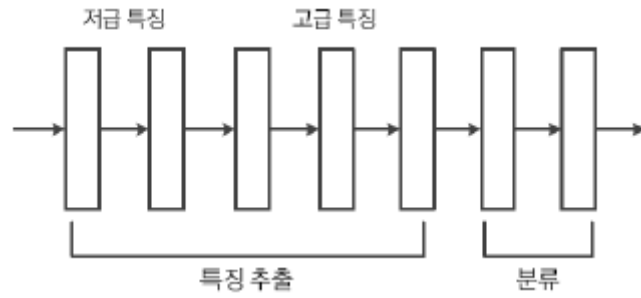
그림 4-1 기계 학습의 패러다임 변화

- 고전적인 기계학습과 딥러닝 비교 예



- 특징 학습

- 낮은 단계 은닉층은 선이나 모서리와 같은 간단한(저급) 특징 추출
- 높은 단계 은닉층은 추상적인 형태의 복잡한(고급) 특징을 추출
- 특징 학습이 강력해짐에 따라
 - 기존 응용에서 획기적인 성능 향상
 - 영상 인식, 음성 인식, 언어 번역 등
 - 새로운 응용 창출
 - 분류나 회귀뿐 아니라 생성 모델이나 화소 수준의 영상 분할
 - CNN과 LSTM의 협력 모델 등이 가능해짐



깊은 다층 퍼셉트론

구조와 동작

- 깊은 다층 퍼셉트론의 구조
 - 입력층(d+1개의 노드)과 출력층(c개의 노드)
 - L-1개의 은닉층 (입력층은 0번째 은닉층, 출력층은 L번째 은닉층으로 간주)
 - l번째 은닉층의 노드 수를 n_l 로 표기

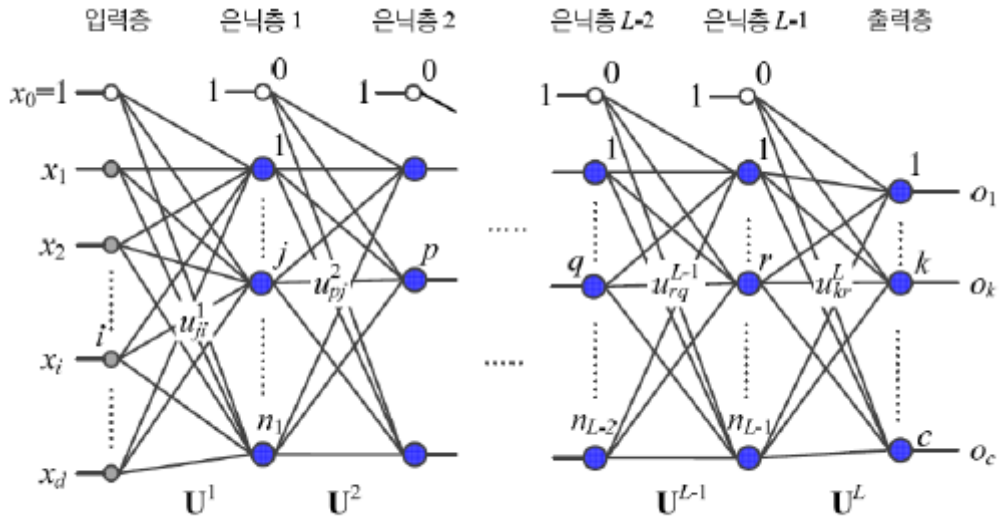


그림 4-3 깊은 MLP(DMLP)의 구조

- DMLP의 가중치 행렬
 - u^l_{ji} 은 l-1번째 층의 i번째 노드와 l번째 층의 j번째 노드를 연결하는 가중치
 - l-1번째 층과 l번째 층을 연결하는 가중치는 총 $(n_{l-1} + 1)n_l$ 개

$$\text{가중치 행렬: } \mathbf{U}^l = \begin{pmatrix} u^l_{10} & u^l_{11} & \cdots & u^l_{1n_{l-1}} \\ u^l_{20} & u^l_{21} & \cdots & u^l_{2n_{l-1}} \\ \vdots & \vdots & \ddots & \vdots \\ u^l_{n_l0} & u^l_{n_l1} & \cdots & u^l_{n_ln_{l-1}} \end{pmatrix}, l = 1, 2, \dots, L$$

- DMLP의 동작
 - MLP의 동작을 나타내는 식 (3.12)를 보다 많은 단계로 확장한 것

$$\mathbf{o} = \mathbf{f}(\mathbf{x}) = \mathbf{f}_L \left(\cdots \mathbf{f}_2 \left(\mathbf{f}_1(\mathbf{x}) \right) \right)$$

- 동작을 구체적으로 쓰면
 - 입력층의 특징 벡터를 내부 표현으로 바꾸어 쓰면

$$\mathbf{z}^0 = (z_0, z_1, z_2, \dots, z_{n_0})^T = (1, x_1, x_2, \dots, x_d)^T$$

- l번째 층의 j번째 노드가 수행하는 연산

$$z_j^l = \tau_l(s_j^l)$$

$$\text{이때 } s_j^l = \mathbf{u}_j^l \mathbf{z}^{l-1} \text{이고,}$$

$$\mathbf{z}^{l-1} = (1, z_1^{l-1}, z_2^{l-1}, \dots, z_{n_{l-1}}^{l-1})^T, \quad \mathbf{u}_j^l = (u_{j0}^l, u_{j1}^l, \dots, u_{jn_{l-1}}^l)$$

- 행렬 표기를 이용하여 l번째 층의 연산 전체를 쓰면

$$l\text{번째 층의 연산: } \mathbf{z}^l = \boldsymbol{\tau}_l(\mathbf{U}^l \mathbf{z}^{l-1}), \quad 1 \leq l \leq L$$

학습

- DMLP 학습은 3장의 MLP 학습과 유사

- DMLP는 그래디언트 계산과 가중치 갱신을 더 많은 단계에 걸쳐 수행

- 오류 역전파 알고리즘

- L번째 층(출력층)의 그래디언트 계산

$$\delta_k^L = \tau'_L(s_k^L)(y_k - o_k), \quad 1 \leq k \leq c$$

$$\frac{\partial J}{\partial u_{kr}^L} = -\delta_k^L z_r^{L-1}, \quad 0 \leq r \leq n_{L-1}, \quad 1 \leq k \leq c$$

- l+1번째 층의 정보를 이용하여 l번째 층의 그래디언트 계산

$$\delta_j^l = \tau'_l(s_j^l) \sum_{p=1}^{n_{l+1}} \delta_p^{l+1} u_{pj}^{l+1}, \quad 1 \leq j \leq n_l$$

$$\frac{\partial J}{\partial u_{ji}^l} = -\delta_j^l z_i^{l-1}, \quad 0 \leq i \leq n_{l-1}, \quad 1 \leq j \leq n_l$$

알고리즘 4-1 DMLP를 위한 미니배치 스토캐스틱 경사 하강법

입력: 훈련집합 \mathbb{X} 와 \mathbb{Y} , 학습률 ρ , 미니배치 크기 t

출력: 가중치 행렬 $\mathbf{U}^l, l = 1, 2, \dots, L$

```

1   $\mathbf{U}^l, l = 1, 2, \dots, L$ 을 초기화한다.
2  repeat
3       $\mathbb{X}$ 와  $\mathbb{Y}$ 에서  $t$ 개의 샘플을 무작위로 뽑아 미니배치  $\mathbb{X}'$ 와  $\mathbb{Y}'$ 를 만든다.
4      for ( $l=1$  to  $L$ )  $\Delta \mathbf{U}^l = \mathbf{0}$ 
5          for ( $\mathbb{X}'$ 의 샘플 각각에 대해)
6              현재 처리하는 샘플을  $\mathbf{x} = (x_0, x_1, x_2, \dots, x_d)^T, \mathbf{y} = (y_1, y_2, \dots, y_c)^T$ 라 표기한다.
7               $x_0, z_0^1, z_0^2, \dots, z_0^L$ 을 1로 설정한다.
              // 전방 계산
8               $\mathbf{x}$ 를  $\mathbf{z}^0$ 에 대입한다. // 식 (4.3)
9              for ( $l=1$  to  $L$ ) // 왼쪽 층에서 오른쪽 층으로 진행하면서 전방 계산
10                 for ( $j=1$  to  $n_l$ ) // 각 노드에 대해
11                      $s_j^l = \mathbf{u}_j^l \mathbf{z}^{l-1}$  // 식 (4.4)
12                      $z_j^l = \tau_l(s_j^l)$  // 식 (4.4)
              // 오류 역전파의 단계 1: 그레이디언트 계산
13                 for ( $k=1$  to  $c$ )  $\delta_k^L = \tau_L'(s_k^L)(y_k - o_k)$  // 식 (4.6)
14                 for ( $k=1$  to  $c$ ) for ( $r=0$  to  $n_{l-1}$ )  $\Delta u_{kr}^L = \Delta u_{kr}^L + (-\delta_k^L z_r^{L-1})$ 
15                 for ( $l=L-1$  to 1) // 오른쪽 층에서 왼쪽 층으로 진행하면서 오류 역전파
16                     for ( $j=1$  to  $n_l$ )  $\delta_j^l = \tau_l'(s_j^l) \sum_{p=1}^{n_{l+1}} \delta_p^{l+1} u_{pj}^{l+1}$  // 식 (4.8)
17                     for ( $j=1$  to  $n_l$ ) for ( $i=0$  to  $n_{l-1}$ )  $\Delta u_{ji}^l = \Delta u_{ji}^l + (-\delta_j^l z_i^{l-1})$ 
              // 오류 역전파의 단계 2: 가중치 갱신
18                 for ( $l=L$  to 1)
19                     for ( $j=1$  to  $n_l$ ) for ( $i=0$  to  $n_{l-1}$ )  $u_{ji}^l = u_{ji}^l - \rho \left( \frac{1}{t} \right) \Delta u_{ji}^l$ 
20
21  until (멈춤 조건)
```

- 역사적 고찰
 - 학습 알고리즘의 주요 개선

퍼셉트론 \longrightarrow 다층 퍼셉트론 \longrightarrow 깊은 다층 퍼셉트론

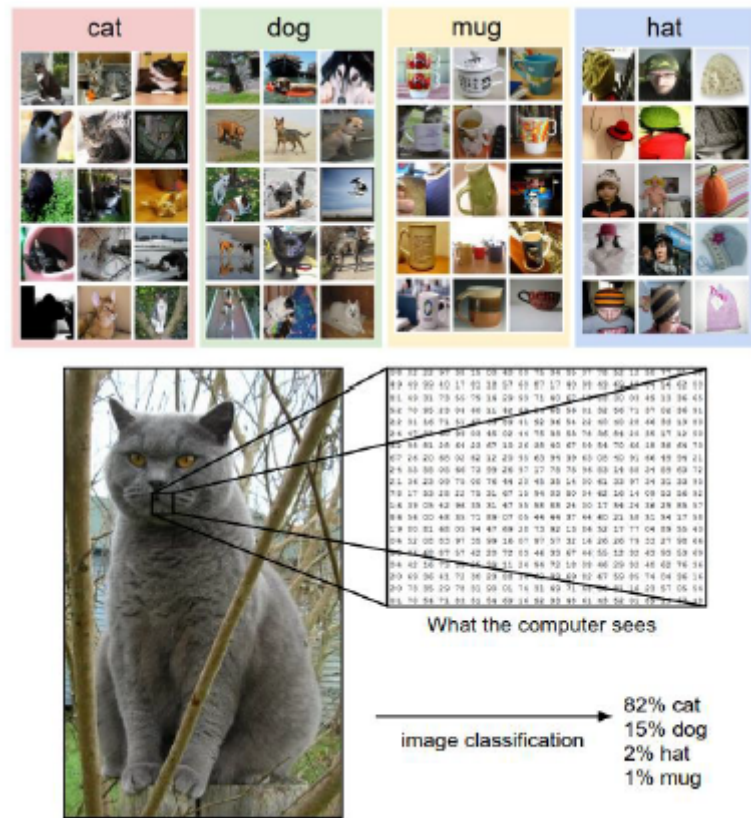
활성함수:	계단함수	시그모이드함수	ReLU와 변형들
목적함수:	평균제곱 오차	평균제곱 오차	교차 엔트로피 또는 로그우도

그림 4-4 다층 퍼셉트론의 역사적 발전 양상

- CNN의 부상
 - MNIST 인식 경쟁
 - ILSVRC 영상 인식 경쟁 : CNN이 DMLP보다 확연히 우월

컨볼루션 신경망

- 영상 인식의 예



- 오늘날 영상 분야에서 다양하게 활용 됨
 - 분류, 검색, 검출, 분할
- DMLP와 CNN의 비교
 - DMLP
 - 완전 연결 구조로 높은 복잡도
 - 학습이 매우 느리고 과잉적합 우려
 - CNN
 - 컨볼루션 연산을 이용한 부분연결(희소 연결) 구조로 복잡도 크게 낮춤
 - 컨볼루션 연산은 좋은 특징 추출
- CNN
 - 격자 구조(영상, 음성 등)를 갖는 데이터에 적합
 - 수용장은 인간시각과 유사
 - 가변 크기의 입력 처리 가능
- CNN의 완전 연결 신경망과 차별
 - 각 층의 입출력의 특징형상 유지
 - 영상의 공간정보를 유지하면서 공간적으로 인접한 정보의 특징을 효과적으로 인식
 - 학습에 의해 결정된 복수의 커널들(혹은 필터들)에 대응되는 특징들을 추출하는 층을 가짐
 - 추출된 영상의 특징을 요약하고 강화하는 층을 가짐
 - 각 커널은 파라미터를 공유함으로써 완전 연결 신경망 대비 학습 파라미터가 매우 적음

컨볼루션층(CONV)

- 컨볼루션 연산
 - 컨볼루션은 해당하는 요소끼리 곱하고 결과를 모두 더하는 선형 연산(합성곱)
 - 식 (4.10)과 식 (4.11)에서 u 는 커널(혹은 필터), z 는 입력, s 는 출력(특징 맵)
 - 영상에서 특징을 추출하기 위한 용도로 사용됨(공간 필터)

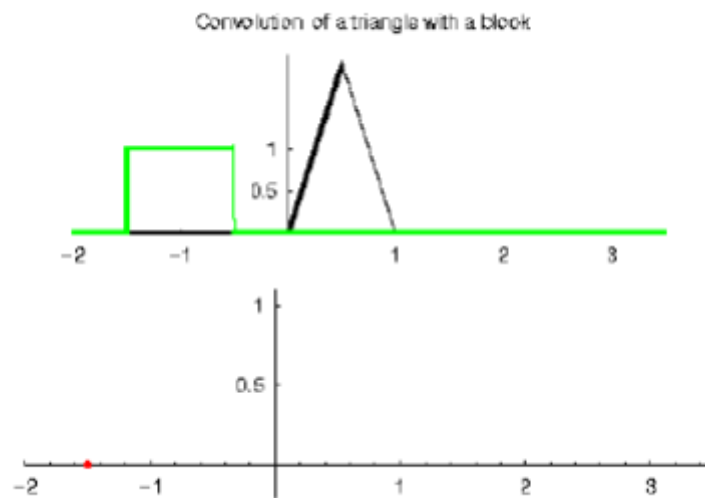
$$s(i) = z \oplus u = \sum_{x=-(h-1)/2}^{(h-1)/2} z(i+x)u(x) \quad (4,10) \quad \leftarrow 1차원 입력$$

$$s(j,i) = z \oplus u = \sum_{y=-(h-1)/2}^{(h-1)/2} \sum_{x=-(h-1)/2}^{(h-1)/2} z(j+y,i+x)u(y,x) \quad (4,11) \quad \leftarrow 2차원 입력$$

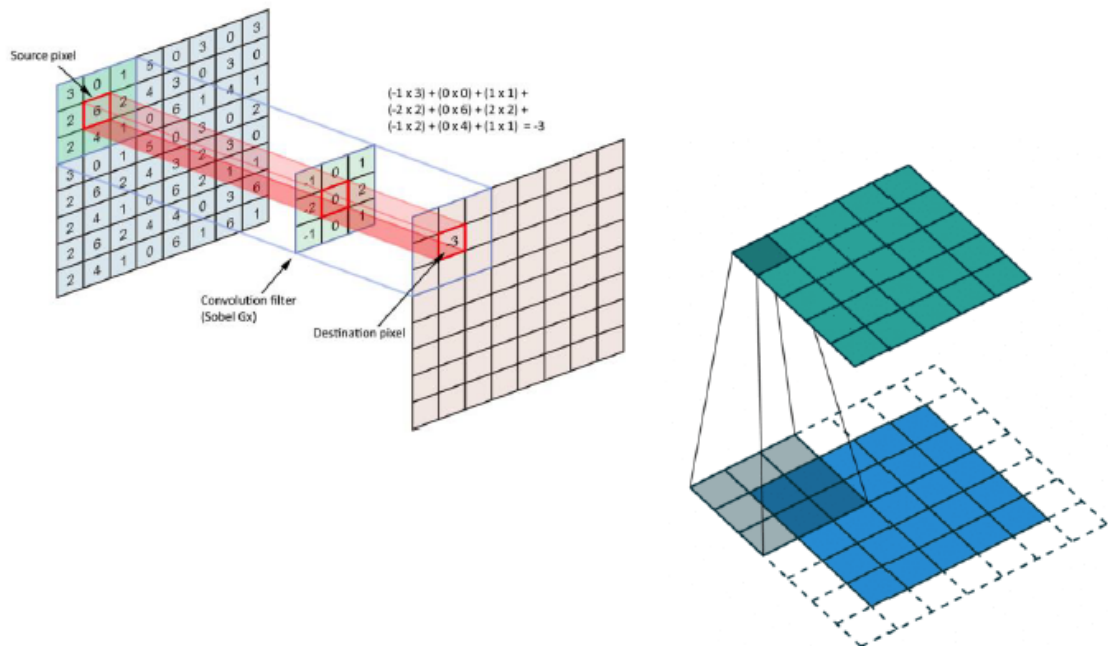


그림 4-6 컨볼루션 연산

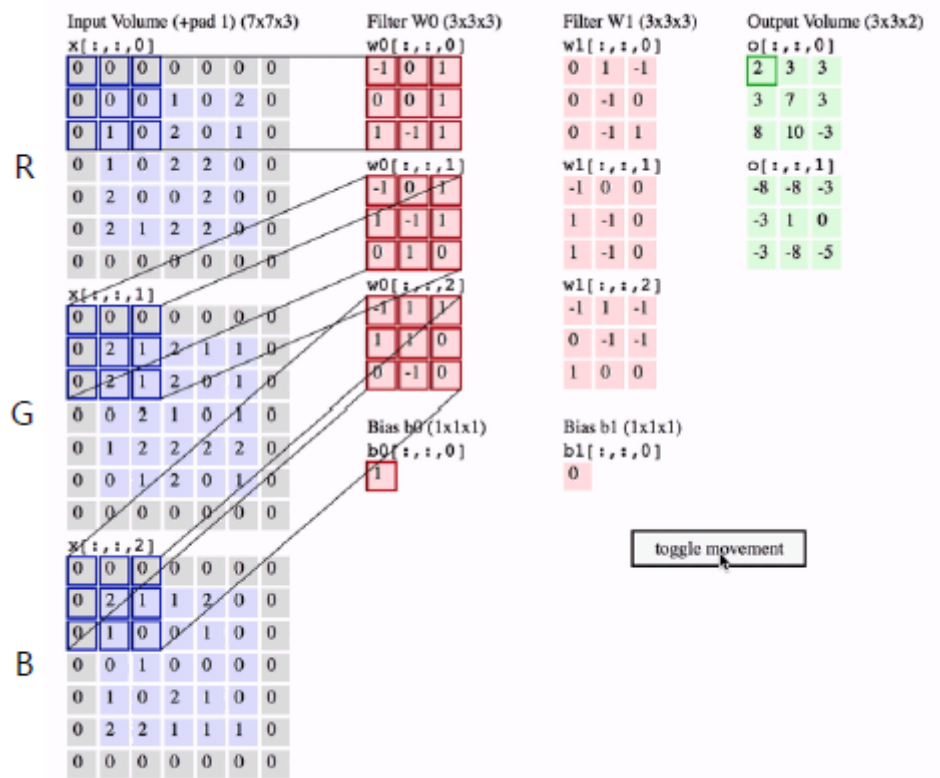
- 1차원 컨볼루션 연산의 예



- 2차원 컨볼루션 연산의 예



- 3차원(혹은 채널) 컨볼루션 연산의 예



- 영상에서의 컨볼루션 연산 예

$$\begin{Bmatrix} -1 & -2 & -1 \\ 0 & 0 & 0 \\ 1 & 2 & 1 \end{Bmatrix} \times \text{Horizontal Image} = \text{Horizontal Convolution Result}$$

Horizontal

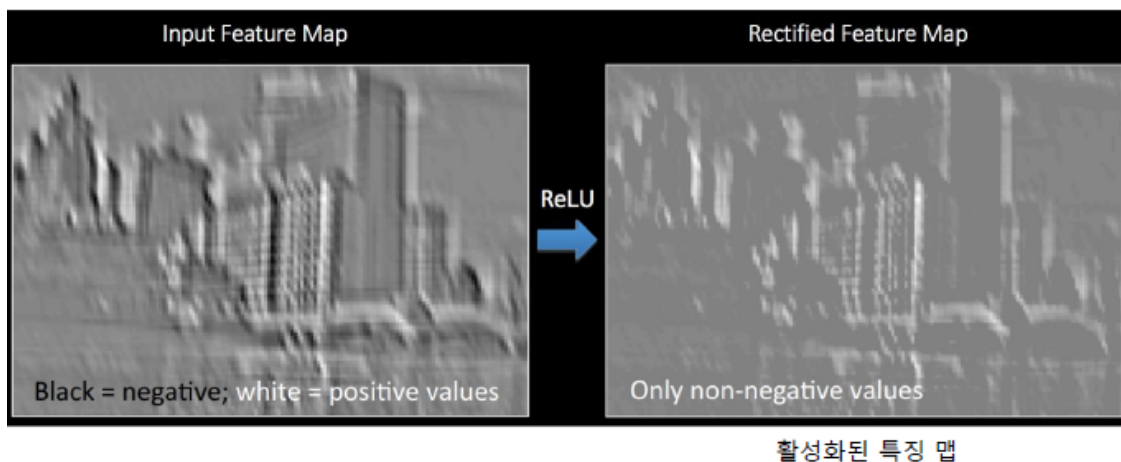
$$\begin{Bmatrix} -1 & 0 & 1 \\ -2 & 0 & 2 \\ -1 & 0 & 1 \end{Bmatrix} \times \text{Vertical Image} = \text{Vertical Convolution Result}$$

Vertical

- 영상에서의 다수의 컨볼루션 연산 예



- 커널의 값에 따라 커널이 추출하는 특징이 달라짐
- 영상에서의 ReLU(활성함수) 연산의 예



활성화된 특징 맵

- 덧대기(Padding)
- 가장자리에서 영상의 크기가 줄어드는 효과 방지(각 층의 입출력의 특징 형상 유지)



그림 4-7 덧대기(회색 노드가 덧댄 노드)

- 바이어스 추가

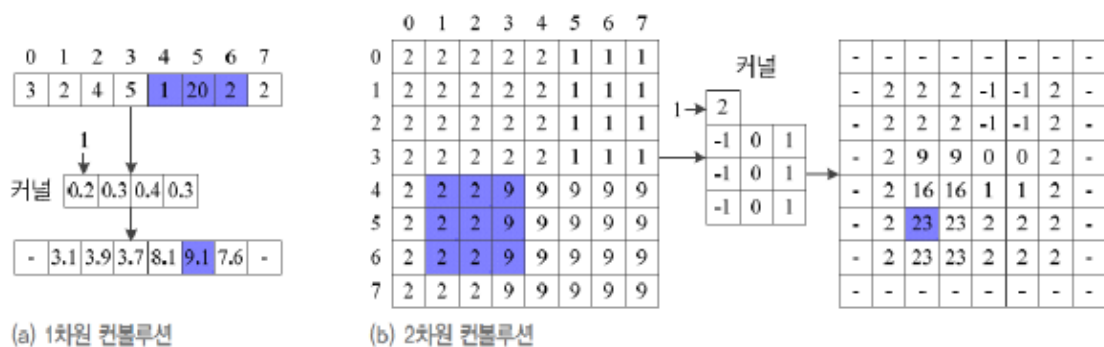


그림 4-8 바이어스

- 가중치 공유 혹은 묶인 가중치

- 모든 노드가 동일한 커널을 사용
 - 가중치를 공유하므로 매개변수는 3개에 불과
- 모델의 복잡도가 크게 낮아짐

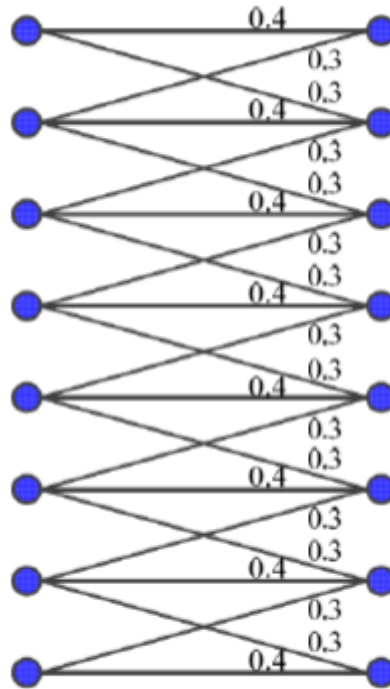


그림 4-9 CNN의 가중치 공유

- 다중 특징 맵 추출

- 커널의 값에 따라 커널이 추출하는 특징이 달라짐

$$\begin{pmatrix} -1 & 0 & 1 \\ -1 & 0 & 1 \\ -1 & 0 & 1 \end{pmatrix} : \text{수직방향}, \begin{pmatrix} -1 & -1 & -1 \\ 0 & 0 & 0 \\ 1 & 1 & 1 \end{pmatrix} : \text{수평방향 선 혹은 모서리 추출}$$

- 따라서 하나의 커널만 사용하면 너무 빈약한 특징이 추출됨
- 3개 커널을 사용하여 3개 특징 맵을 추출하는 상황

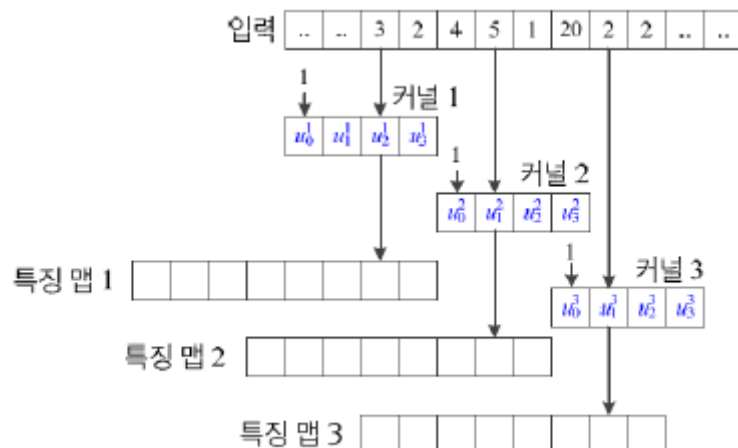


그림 4-10 다중 특징 맵 추출

- 실제로는 수십 ~ 수백 개의 커널을 사용

- 특징 학습

- 커널을 사람이 설계하지 않고, 학습으로 찾음
 - u_i^k 는 k 번째 커널의 i 번째 매개변수

- 2차원 영상이 7*7 커널을 64개 사용한다면 학습은 $(7*7 + 1)*64 = 3200$ 개의 매개변수 필요
 - DMLP와 마찬가지로 오류 역전파로 커널을 학습
- 컨볼루션 연산에 따른 CNN의 특성
 - 이동에 동변 (신호가 이동하면 이동 정보가 그대로 특징 맵에 반영)
 - 영상 인식에서 물체 이동이나 음성 인식에서 발음 지연에 효과적으로 대처

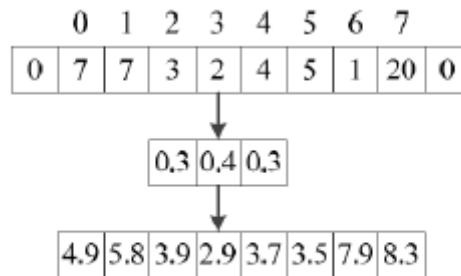


그림 4-11 CNN의 이동에 동변한 특성

- 병렬분산 구조
 - 각 노드는 독립적으로 계산 가능하므로 병렬 구조
 - 노드는 깊은 층을 거치면서 전체에 영향을 미치므로 분산 구조

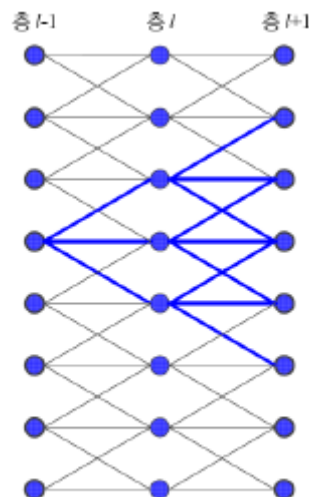
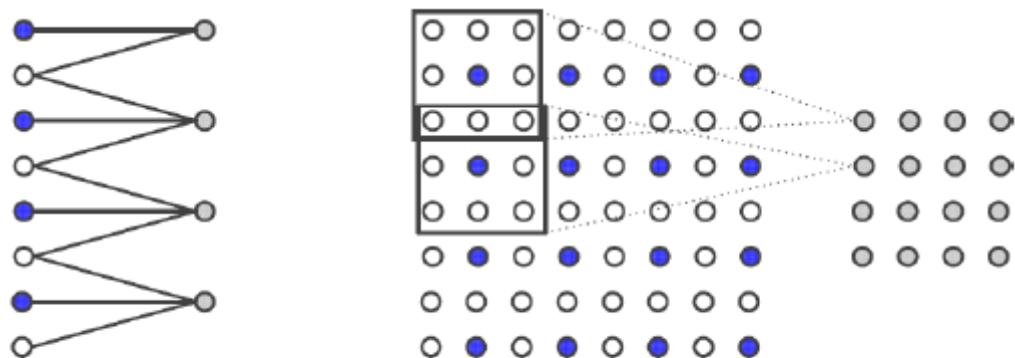


그림 4-12 CNN의 병렬 분산 구조

- 큰 보폭에 의한 다운샘플링
 - 지금까지는 모든 화소에 커널 적용 -> 보폭을 1로 설정한 셈
 - 일반적으로 보폭이 k이면, k개 마다 하나씩 샘플링하여 커널 적용
 - 2차원 영상의 경우 특징 맵이 $1/k^2$ 로 작아짐



(a) 1차원 데이터(예: 음성)

(b) 2차원 데이터(예: 영상)

그림 4-13 보폭이 2인 컨볼루션 연산

- 텐서에 적용
 - 3차원 이상의 구조에도 적용 가능
 - ex) RGB 컬러 영상은 $3mn$ 의 3차원 텐서

3*3*3 입력 영상

R

1	1	1
2	1	3
0	1	0

G

2	2	2
1	0	1
0	0	1

B

0	3	0
1	0	1
1	0	0

R

0	0	0	0	0
0	1	1	1	0
0	0	0	0	0
0	2	2	2	0
0	0	0	0	1
0	0	3	0	0
0	1	0	1	0
0	1	0	0	0
0	0	0	0	0

G

0	0	0	0	0
0	0	0	0	0
0	0	0	0	0
0	0	0	0	0
0	0	0	0	0
0	0	0	0	0
0	0	0	0	0
0	0	0	0	0
0	0	0	0	0

B

0	0	0	0	0
0	0	0	0	0
0	0	0	0	0
0	0	0	0	0
0	0	0	0	0
0	0	0	0	0
0	0	0	0	0
0	0	0	0	0
0	0	0	0	0

커널

0	0	0
0	0	1
0	1	0
0	2	0
0	2	0
0	2	0
1	0	0
0	2	0
0	0	1

특징 맵

9	-	-
-	-	-
-	-	-

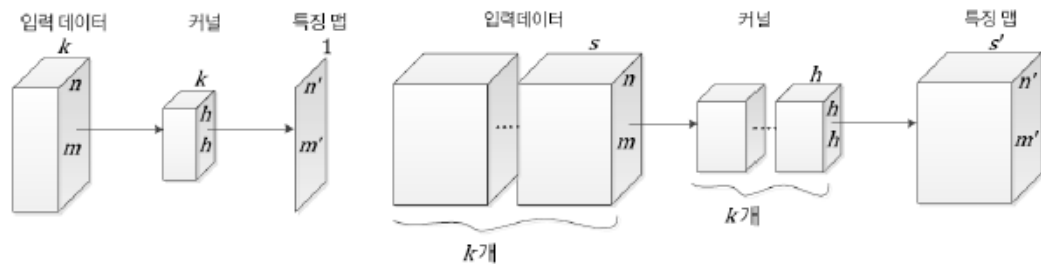
그림 4-14 텐서의 컨볼루션 연산(0 덧대기 적용)

- 특징 맵의 회색 노드의 계산 예시

$$\underbrace{\begin{pmatrix} 0 & 0 & 0 \\ 0 & 1 & 1 \\ 0 & 2 & 1 \end{pmatrix}}_R \underbrace{\begin{pmatrix} 0 & 0 & 0 \\ 0 & 2 & 2 \\ 0 & 1 & 0 \end{pmatrix}}_G \underbrace{\begin{pmatrix} 0 & 0 & 0 \\ 0 & 0 & 3 \\ 0 & 1 & 0 \end{pmatrix}}_B \otimes \underbrace{\begin{pmatrix} 0 & 0 & 0 \\ 0 & 0 & 1 \\ 0 & 1 & 0 \end{pmatrix}}_{c_1} \underbrace{\begin{pmatrix} 0 & 2 & 0 \\ 0 & 2 & 0 \\ 0 & 2 & 0 \end{pmatrix}}_{c_2} \underbrace{\begin{pmatrix} 1 & 0 & 0 \\ 0 & 2 & 0 \\ 0 & 0 & 1 \end{pmatrix}}_{c_3} = 9$$

- 3차원 구조의 데이터에 적용

- 채널이 k개인 3차원 격자 구조



(a) 다중채널 데이터(예: RGB 컬러 영상)

(b) 3차원 데이터(예: 동영상, MRI 뇌 영상)

그림 4-15 텐서의 컨볼루션 연산(직육면체로 표현하기)

- [그림 4-14]를 블록 형태로 다시 그린 것
- 4차원 텐서로 표현하는 데이터
 - 컬러 동영상($3 * s * m * n$), MRI 뇌영상($1 * s * m * n$)
 - $k * h * h * h$ 커널을 $s * m * n$ 공간을 이동하면서 적용

풀링층(Pool)

- 풀링 연산
 - 최대 풀링, 평균 풀링, 가중치 평균 풀링 등

- 보폭을 크게 하면 다운샘플링 효과

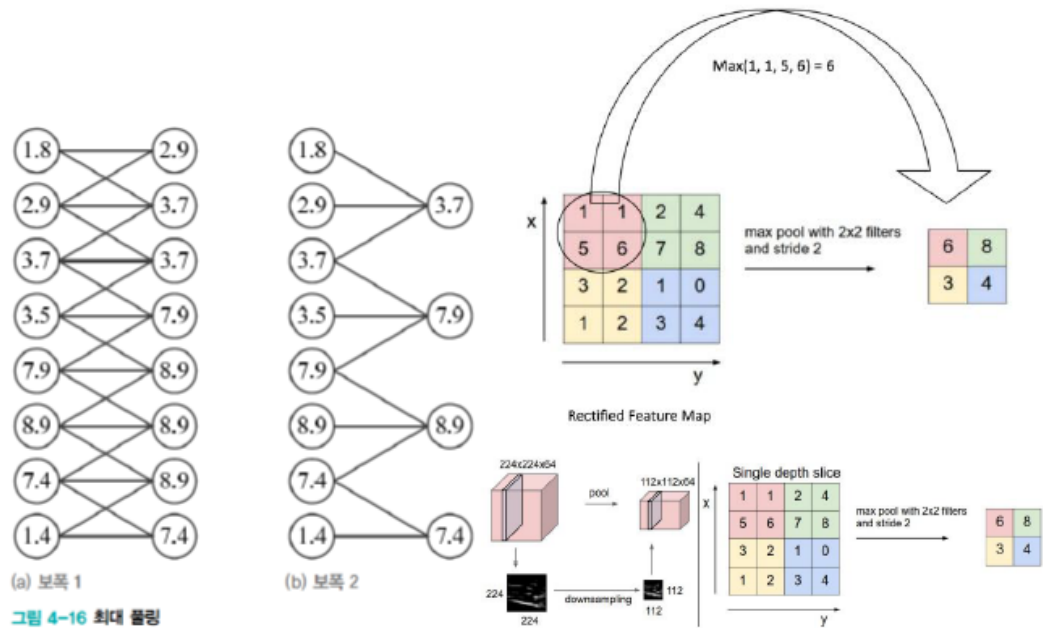


그림 4-16 최대 풀링

- 풀링 연산의 특성
 - 풀링은 상세 내용에서 요약 혹은 평균 등의 통계적 대표성을 추출
 - 매개변수가 없음
 - 특징 맵의 수를 그대로 유지함(크기 x)
 - 작은 변화에 둔감 -> 물체 인식이나 영상 검색 등에 효과적임

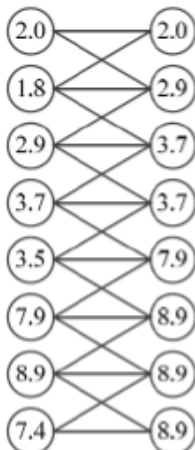
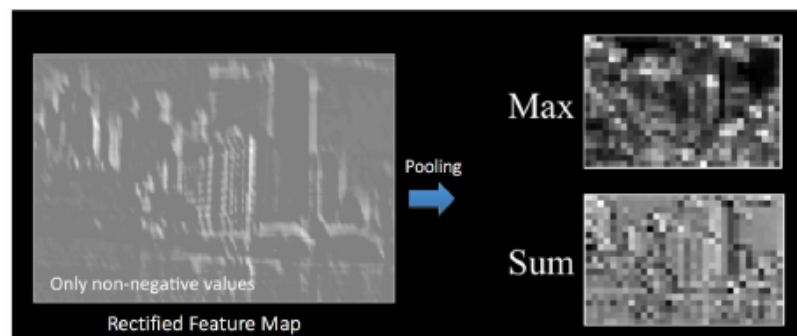


그림 4-17 작은 이동에 둔감한 최대 풀링



전체 구조

- 빌딩 블록
 - CNN은 빌딩 블록을 이어 붙여 **깊은 구조로 확장**
 - [그림 4-18]은 전형적인 빌딩블록 : 컨볼루션층 -> 활성화함수 (주로 ReLU 사용) -> 풀링층
 - 다중 커널을 사용하여 다중 특징 맵을 추출

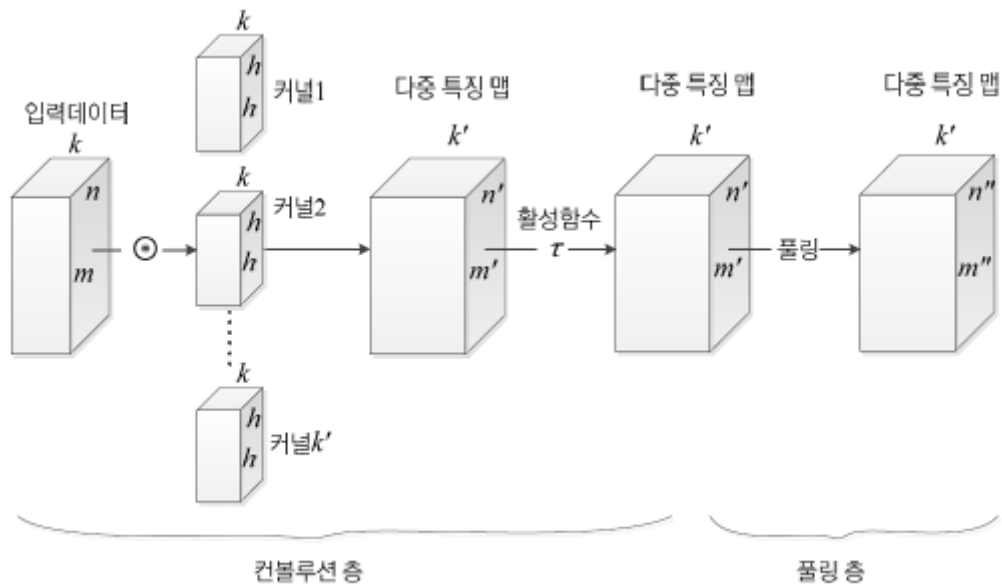


그림 4-18 CNN의 빌딩블록

- 출력의 크기와 매개변수의 수

- 입력 : $W1 * H1 * D1$
- K 개 $F * F$ 커널, 보폭 S , 덧대기 P
- 출력의 크기

$$W2 * H2 * D2$$

$$W2 = (W1 - F + 2P) / S + 1$$

$$H2 = (H1 - F + 2P) / S + 1$$

$$D2 = K$$
- 매개변수의 수
 - 커널마다 ($F * F * D1$)개의 가중치와 1개의 바이어스를 가짐
 - 따라서, 전체 매개변수의 수는 $(F * F * D1)K + K$
- 일반적으로 $F = 2, S = 2$ 혹은 $F = 3, S = 2$ 를 사용

- 초창기 CNN 사례 **Lenet-5**

- 특징 추출 : **CONV - POOL - CONV - POOL - CONV**의 다섯 층을 통해 **28*28 명암 영상을 120차원의 특징벡터로 변환**
- 분류 : 은닉층이 하나인 MLP
- CNN의 첫 번째 성공 사례 : 필기 숫자 인식기 만들어 수표 인식 자동화 시스템 구현

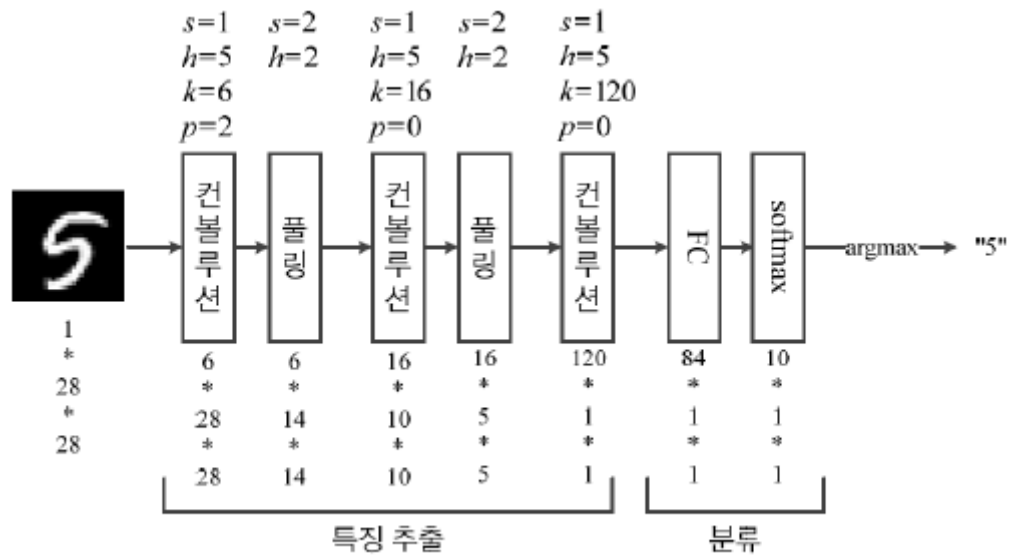


그림 4-19 LeNet-5 구조

- 가변 크기의 데이터 다루기
 - DML은 특징 벡터의 크기가 달라지면 연산 불가능
 - CNN은 가변 크기를 다룰 수 있는 강점
 - 컨볼루션층에서 보폭을 조정한다거나, 풀링층에서 커널이나 보폭을 조정하여 특징 맵 크기를 조절